

FIG.1

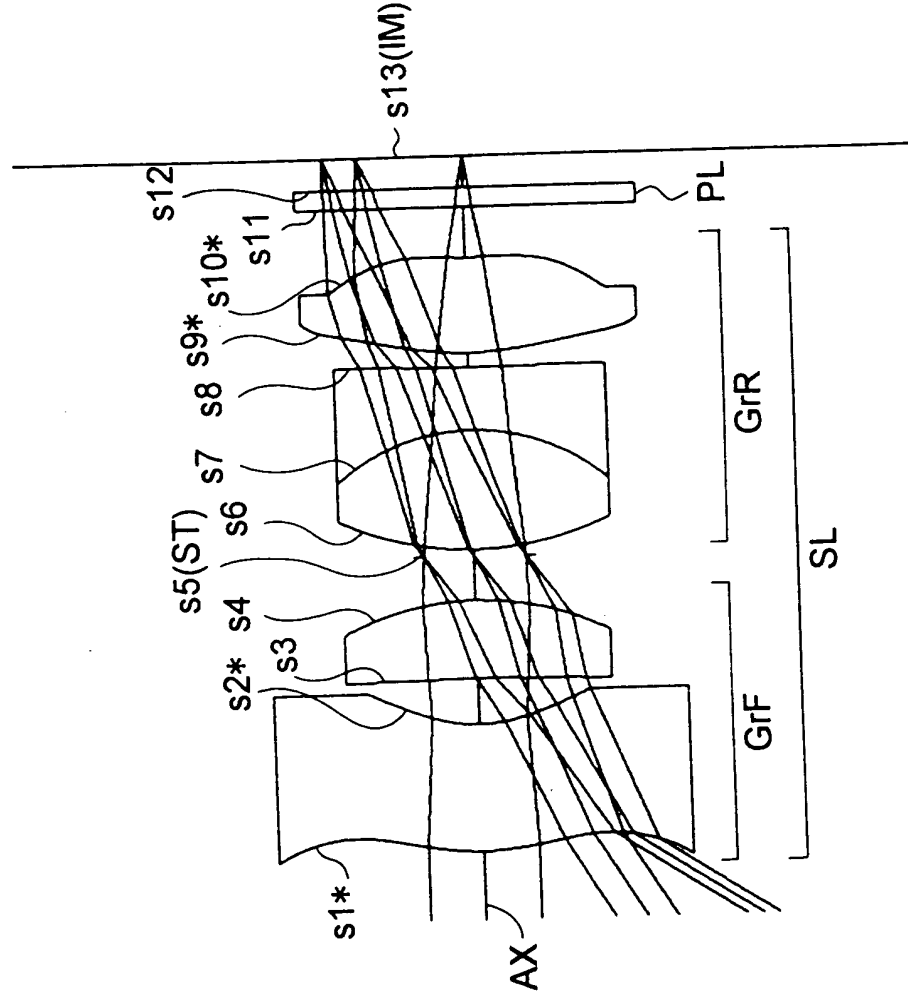


FIG.2

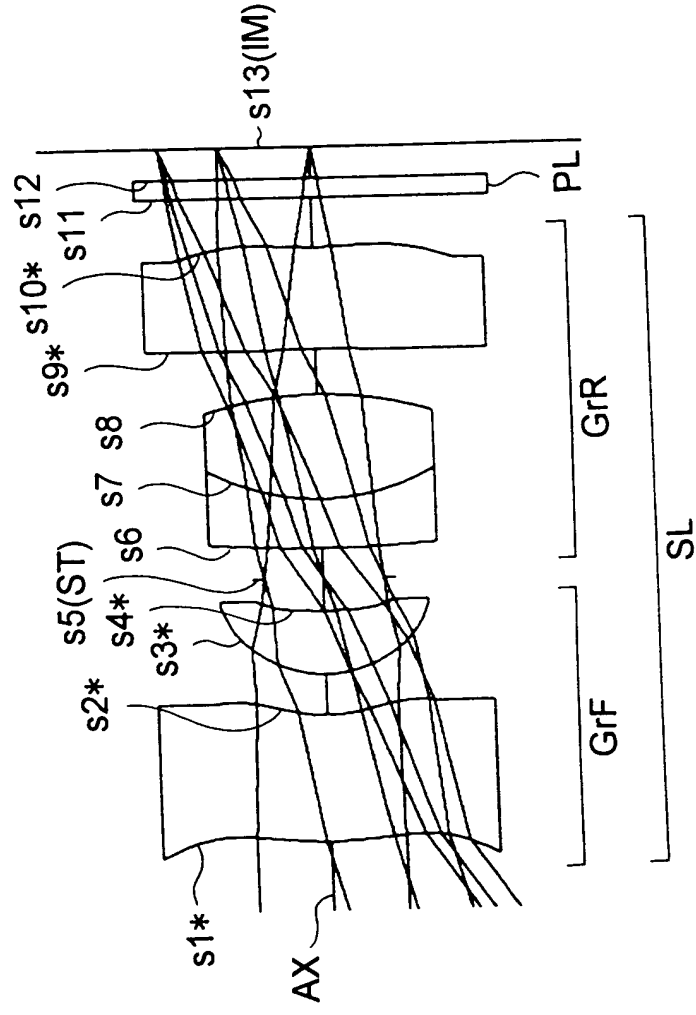


FIG.3

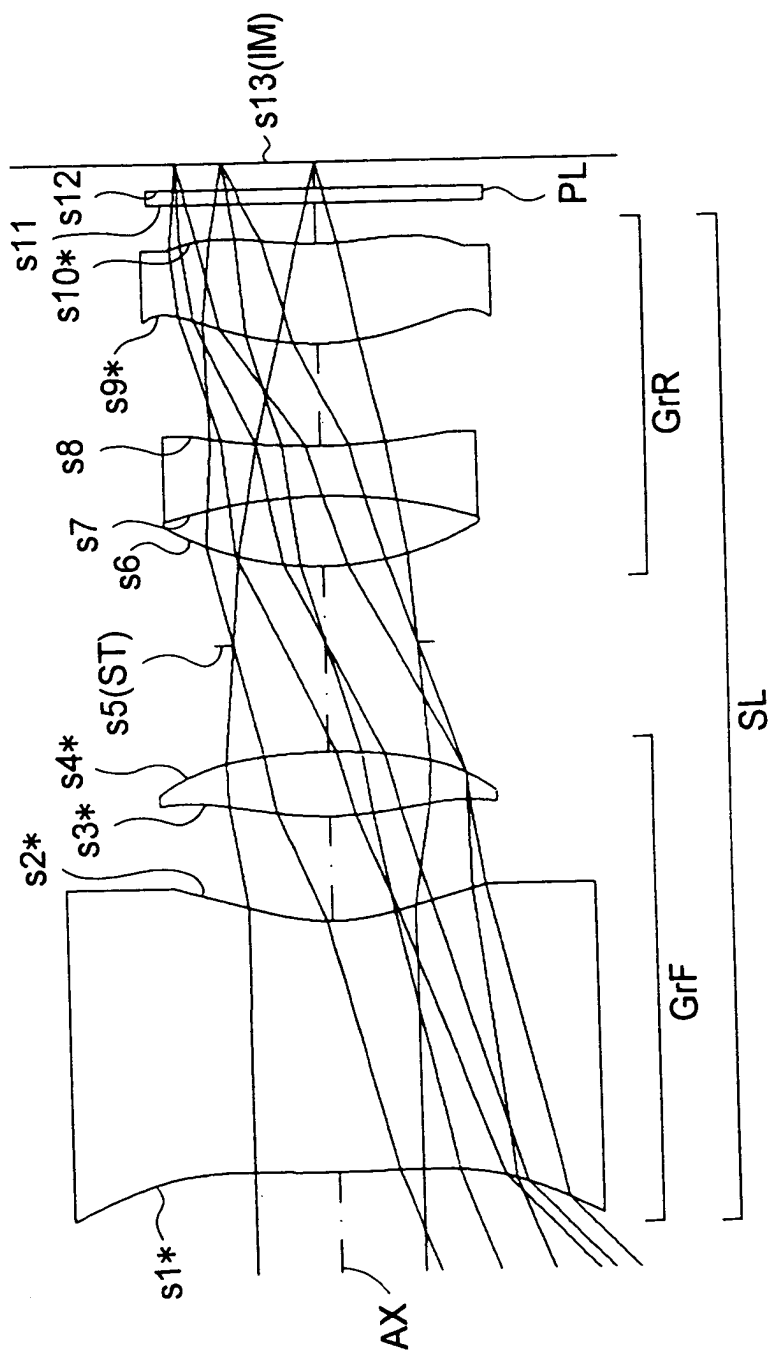


FIG.4

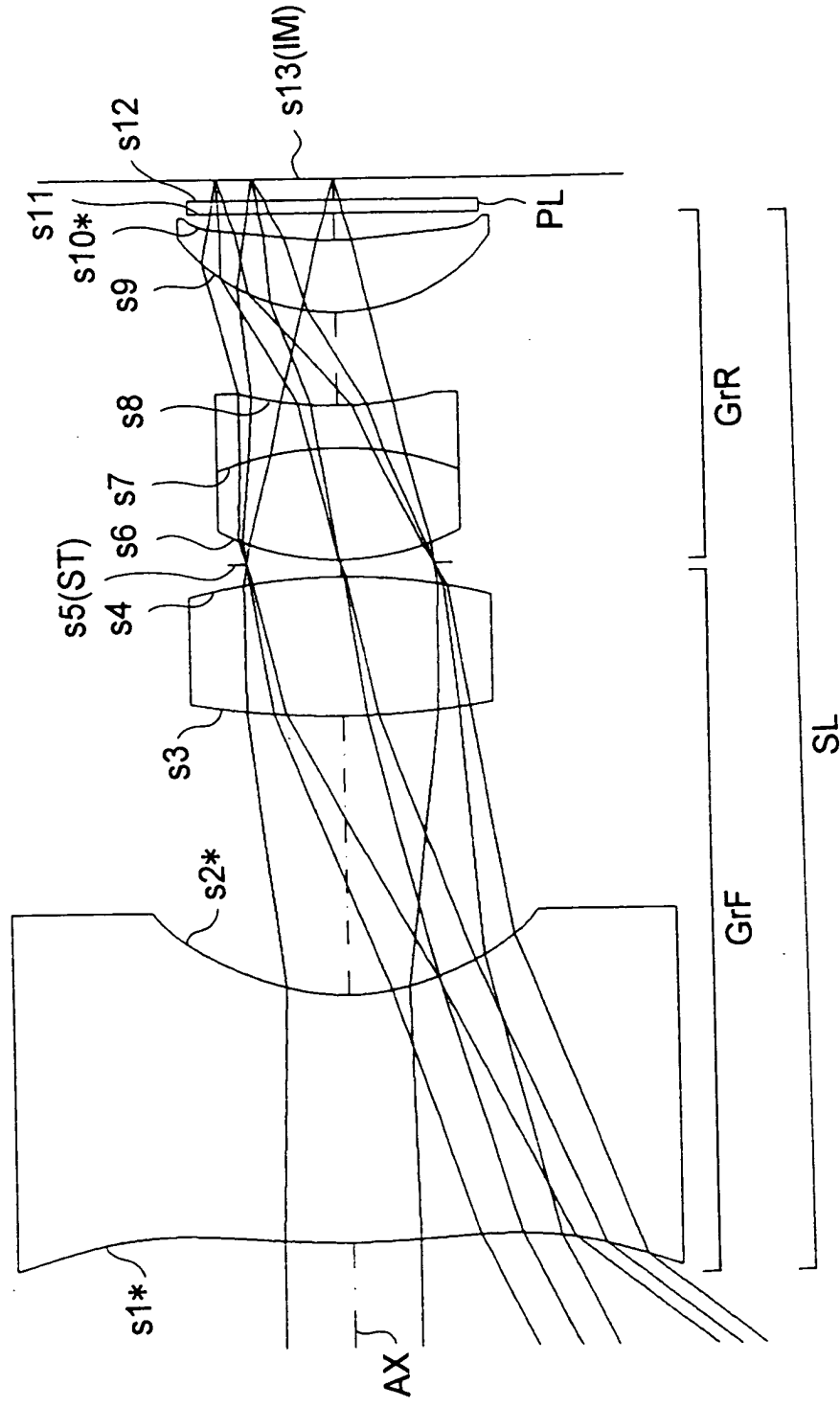


FIG.5

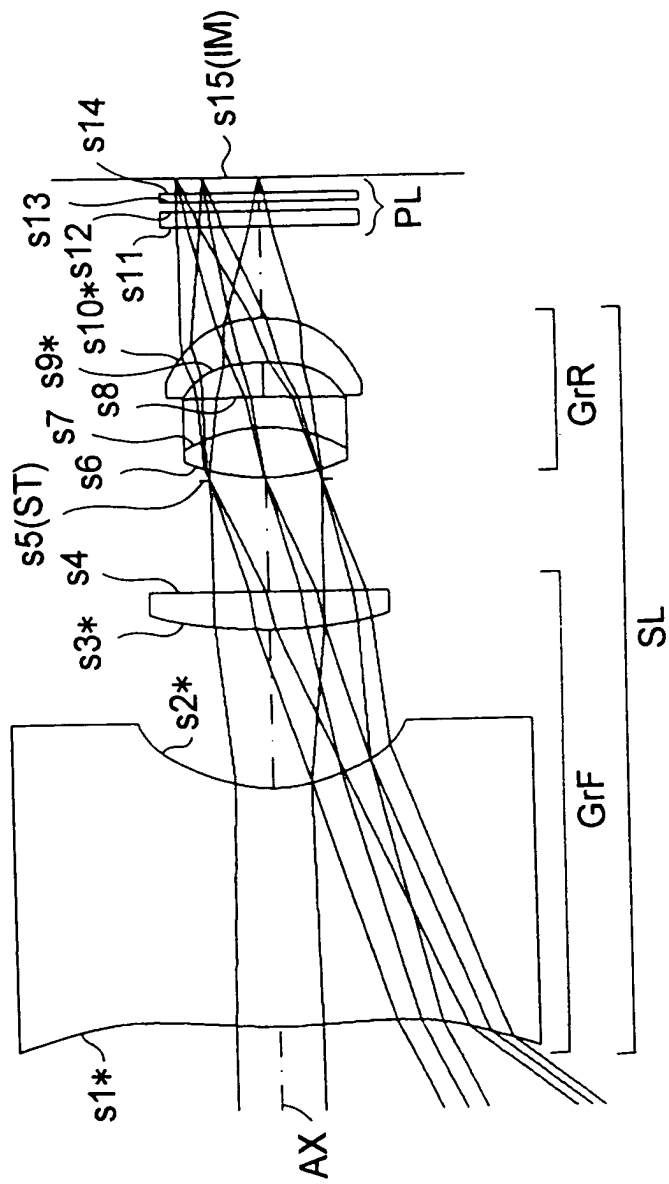


FIG.6

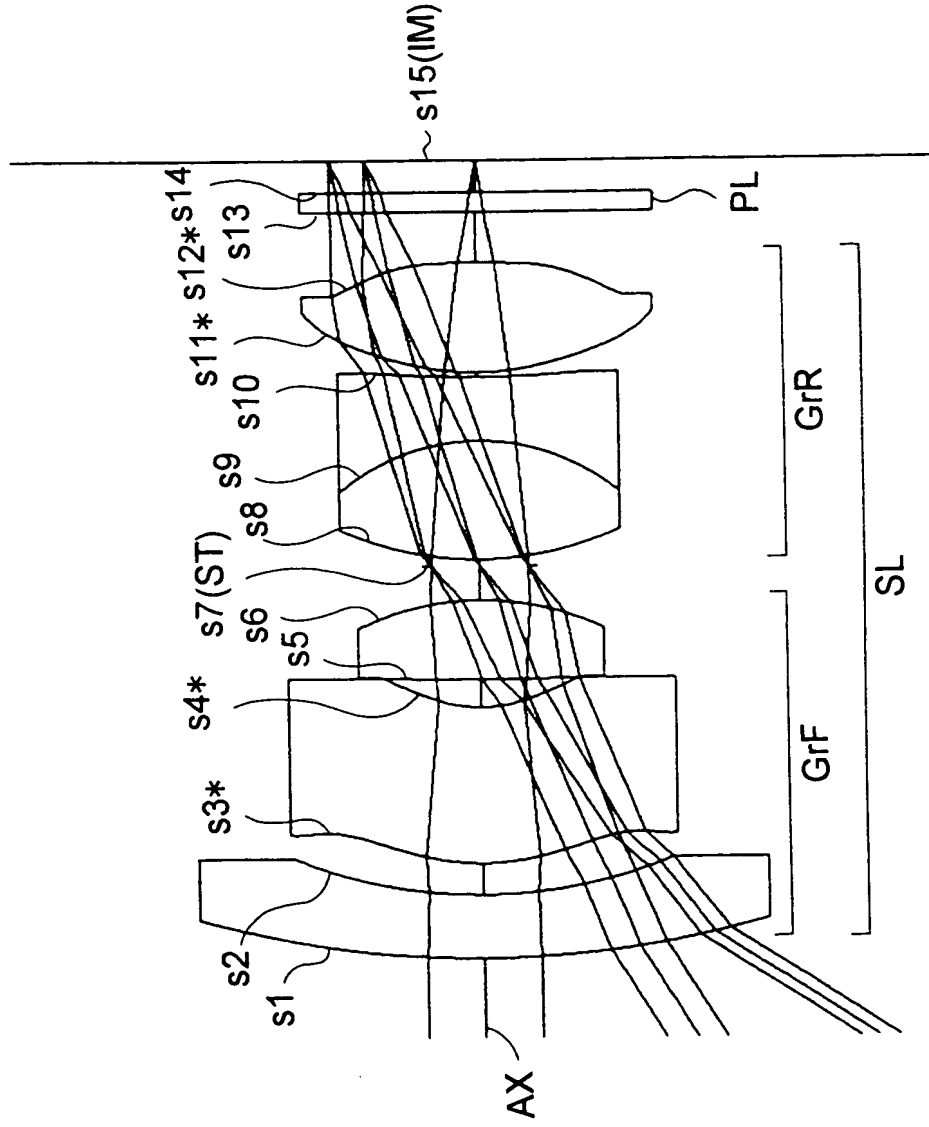


FIG.7

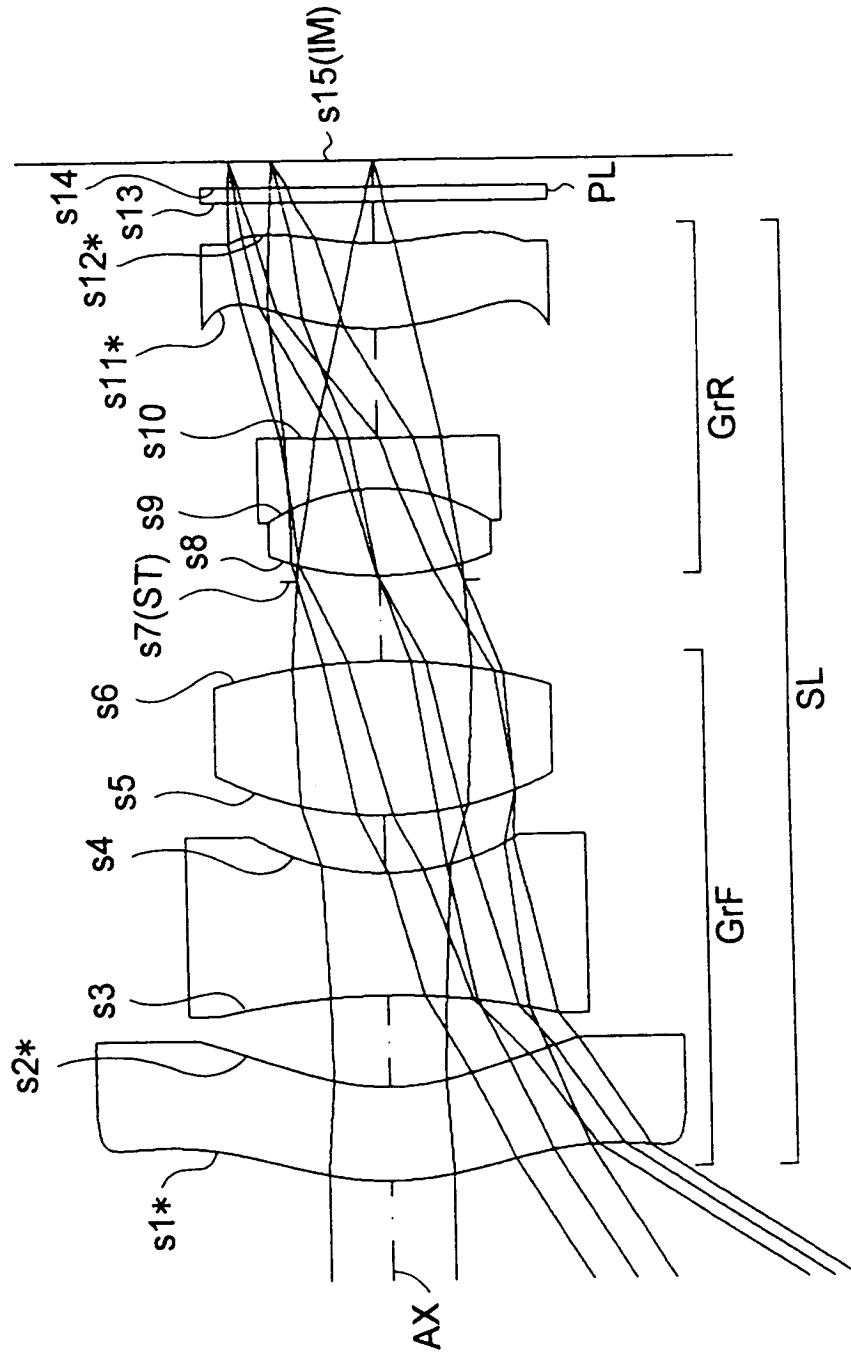


FIG.8A

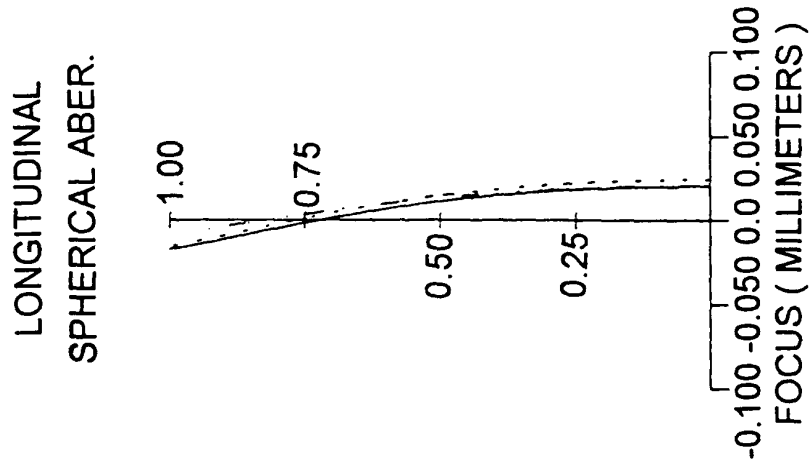


FIG.8B

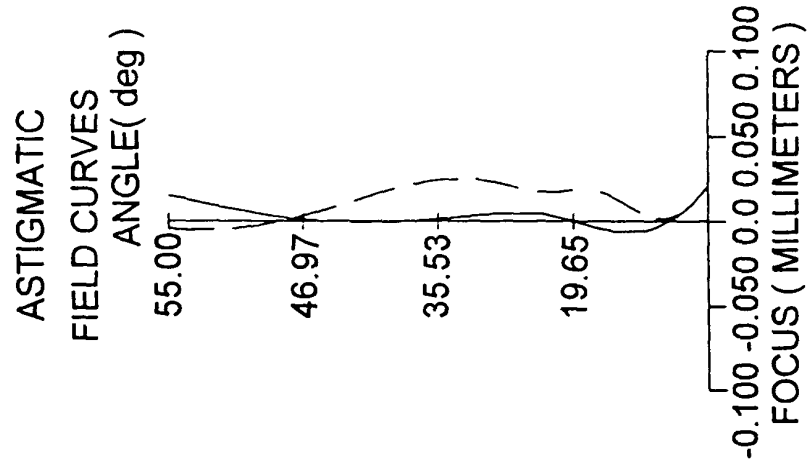


FIG.8C

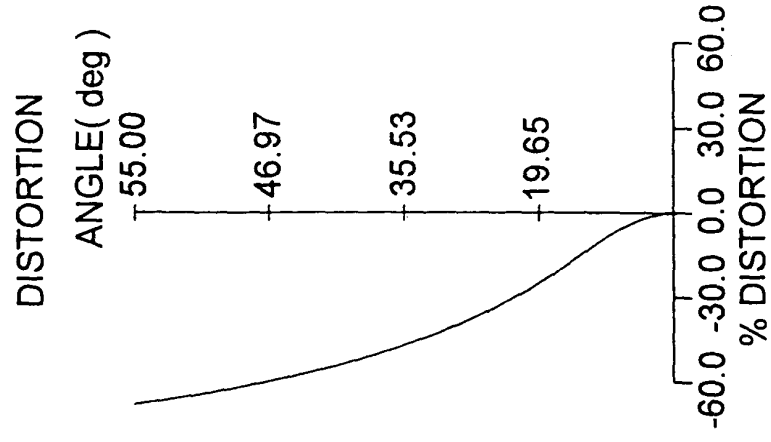




FIG.9A

LONGITUDINAL  
SPHERICAL ABER.

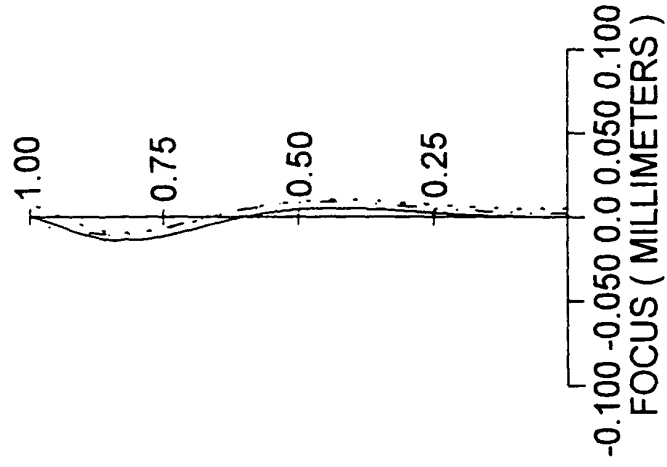


FIG.9B

ASTIGMATIC  
FIELD CURVES

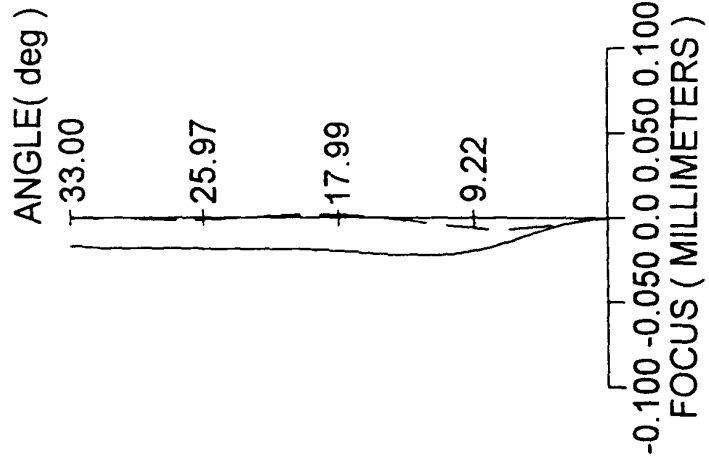


FIG.9C

DISTORTION

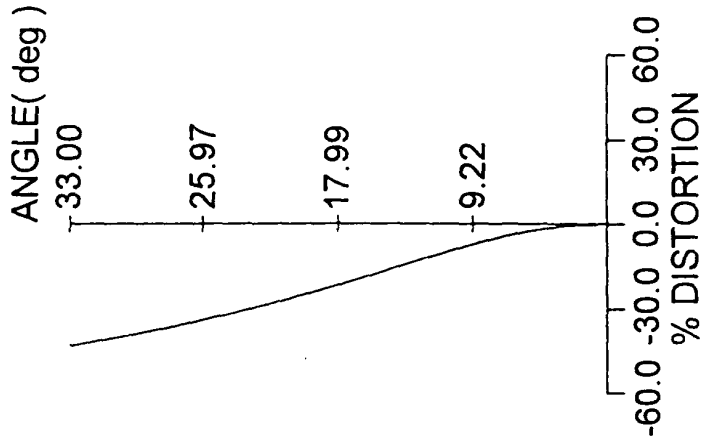


FIG.10A

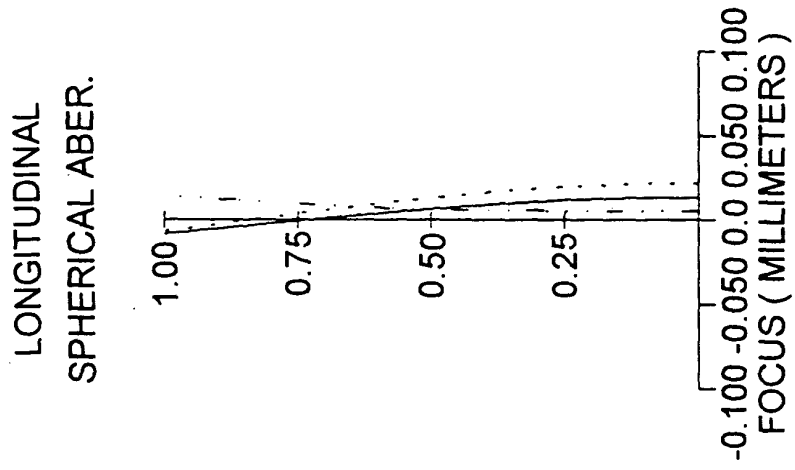


FIG.10B

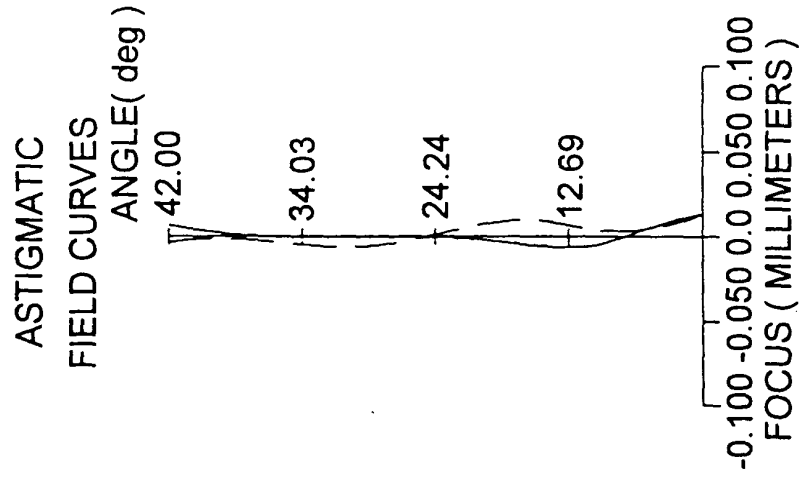


FIG.10C

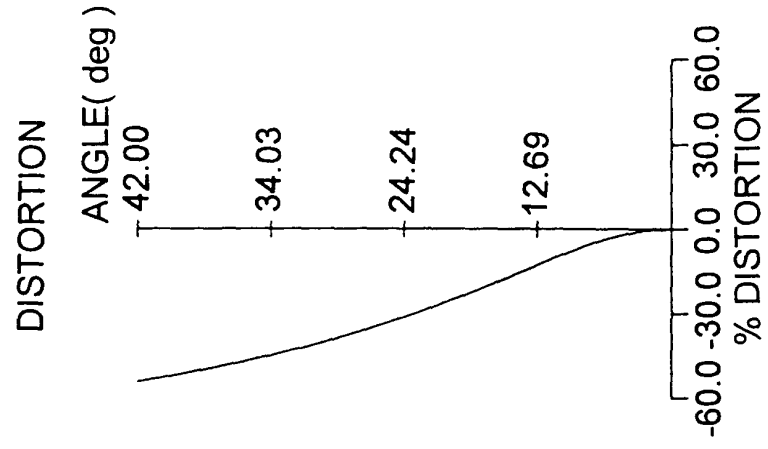


FIG.11A

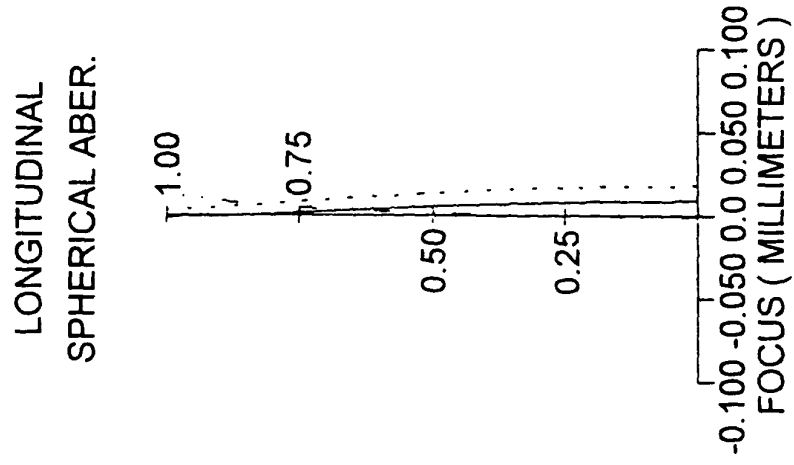


FIG.11B

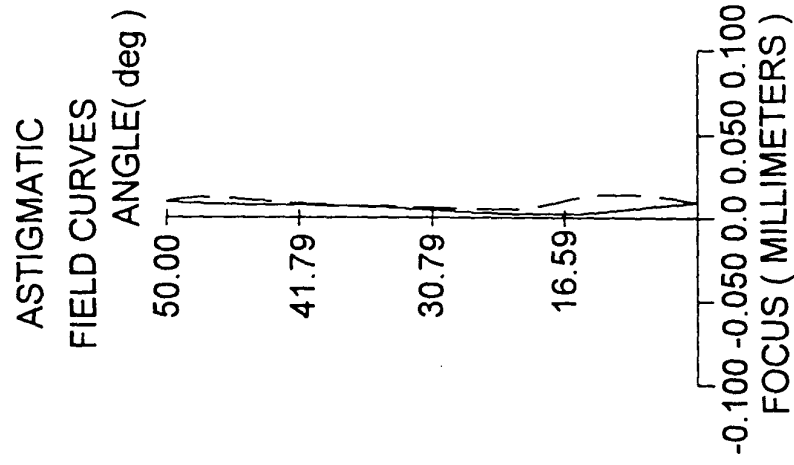


FIG.11C

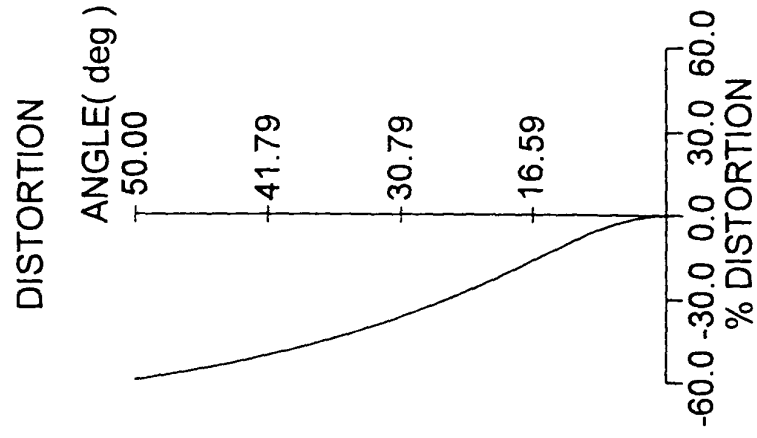


FIG.12A

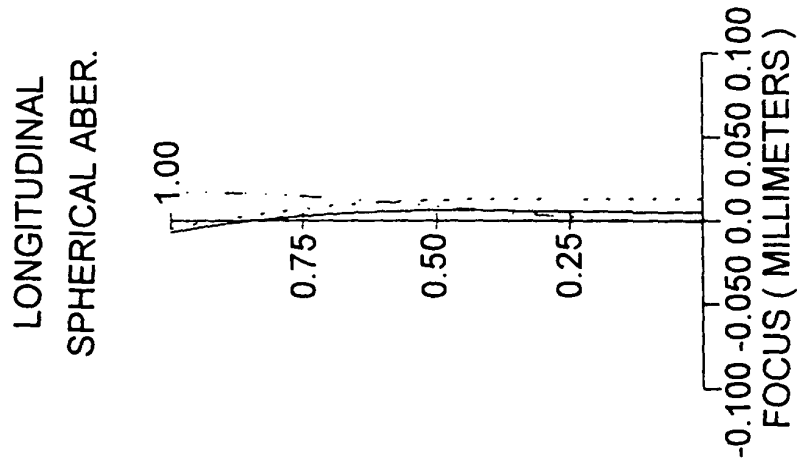


FIG.12B

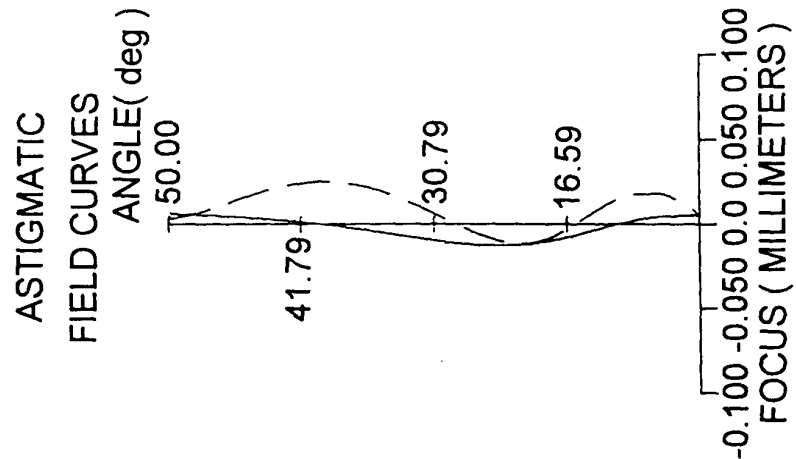


FIG.12C

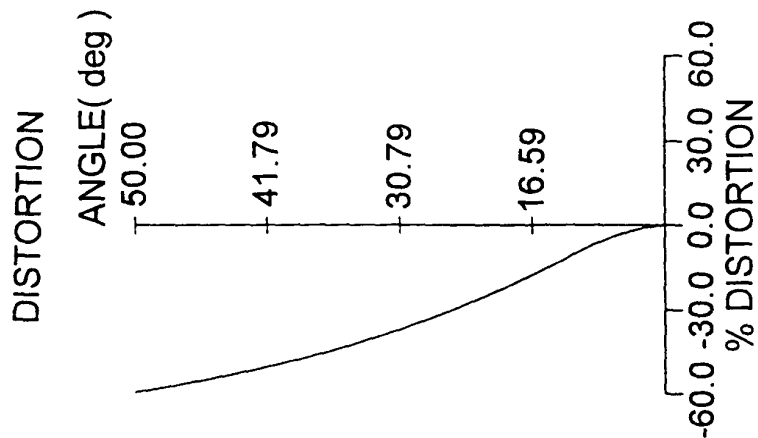


FIG.13A

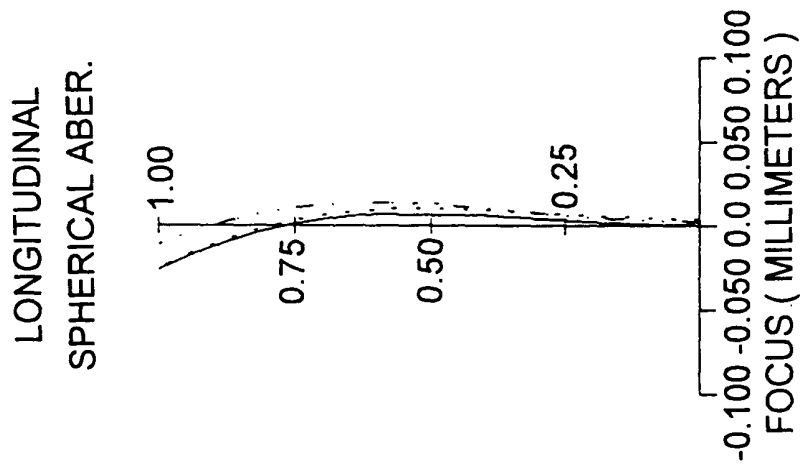


FIG.13B

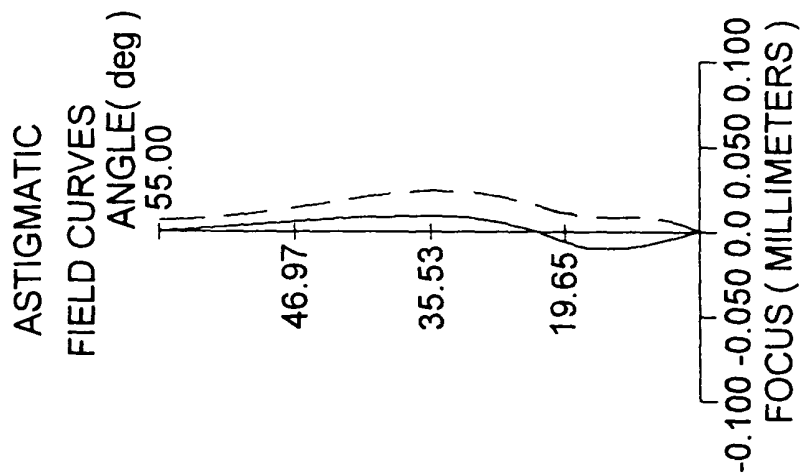


FIG.13C

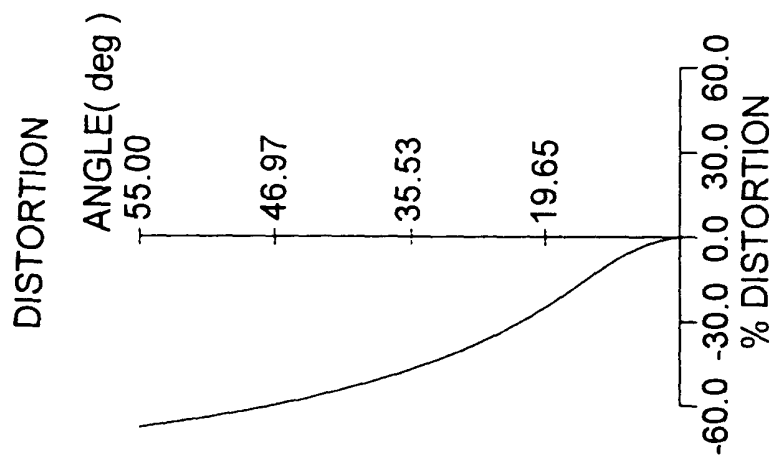


FIG.14A

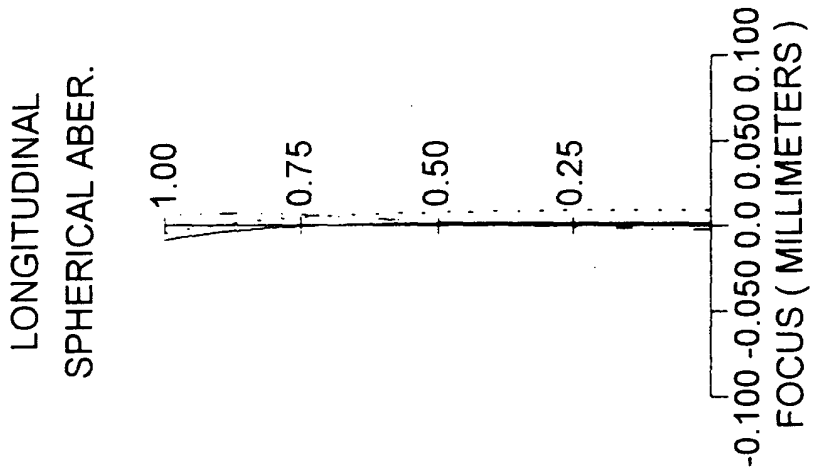


FIG.14B

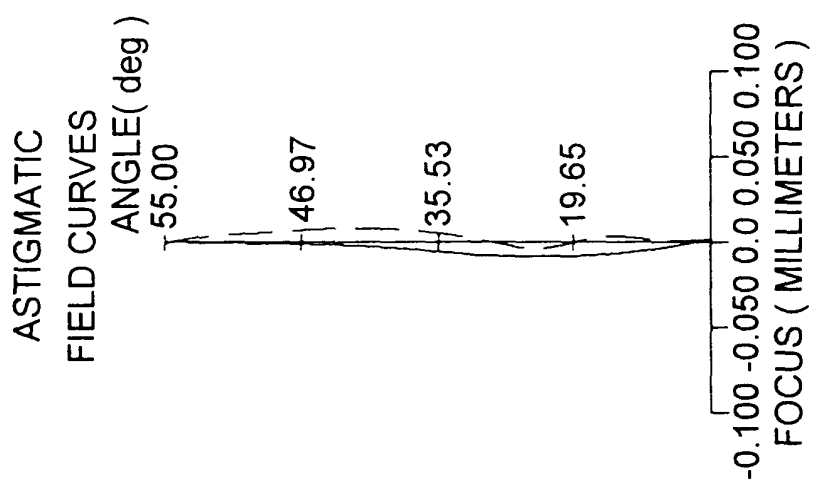


FIG.14C

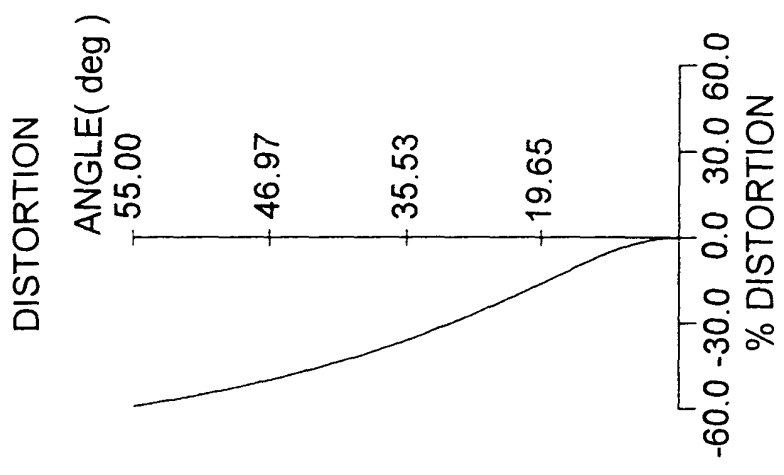




FIG.16

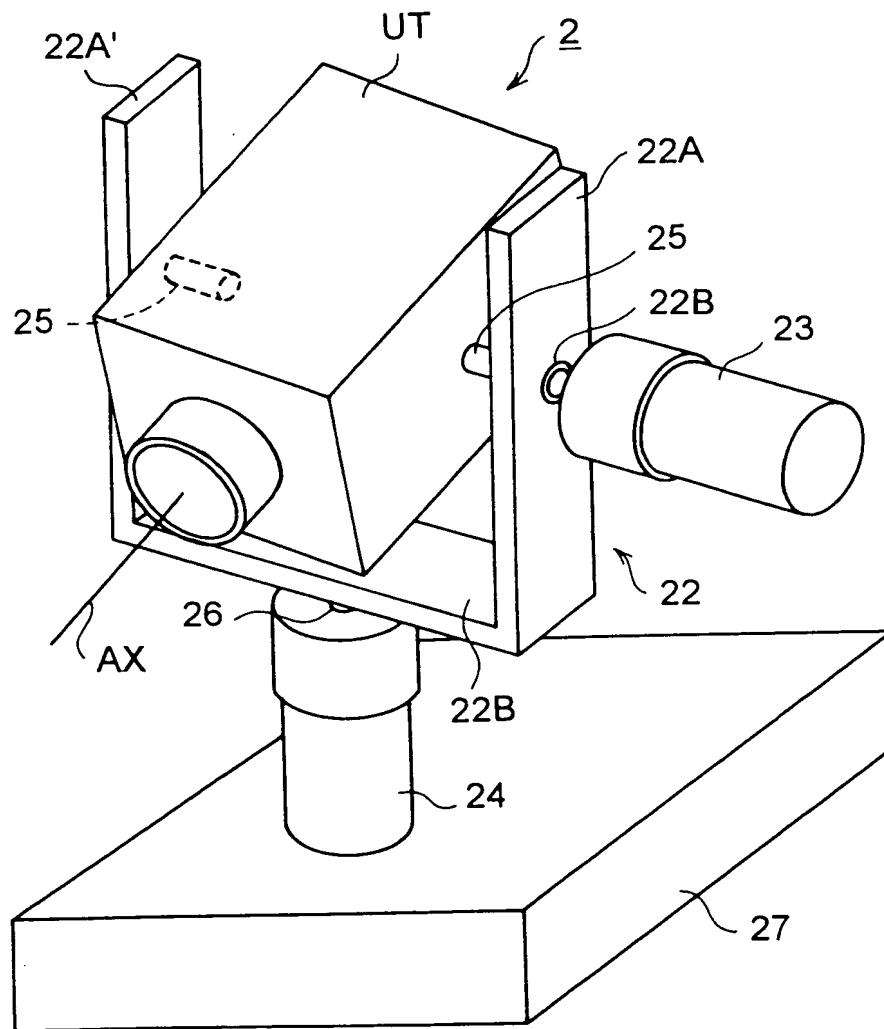




FIG.17

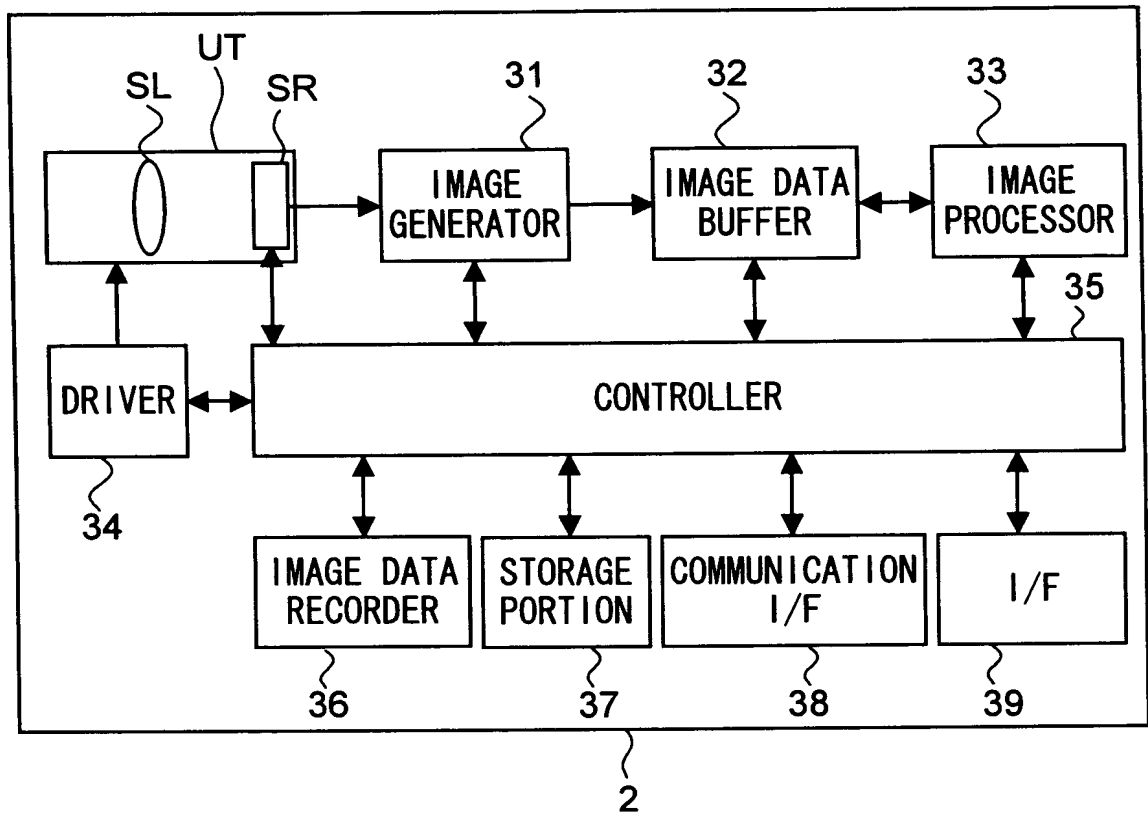


FIG.18

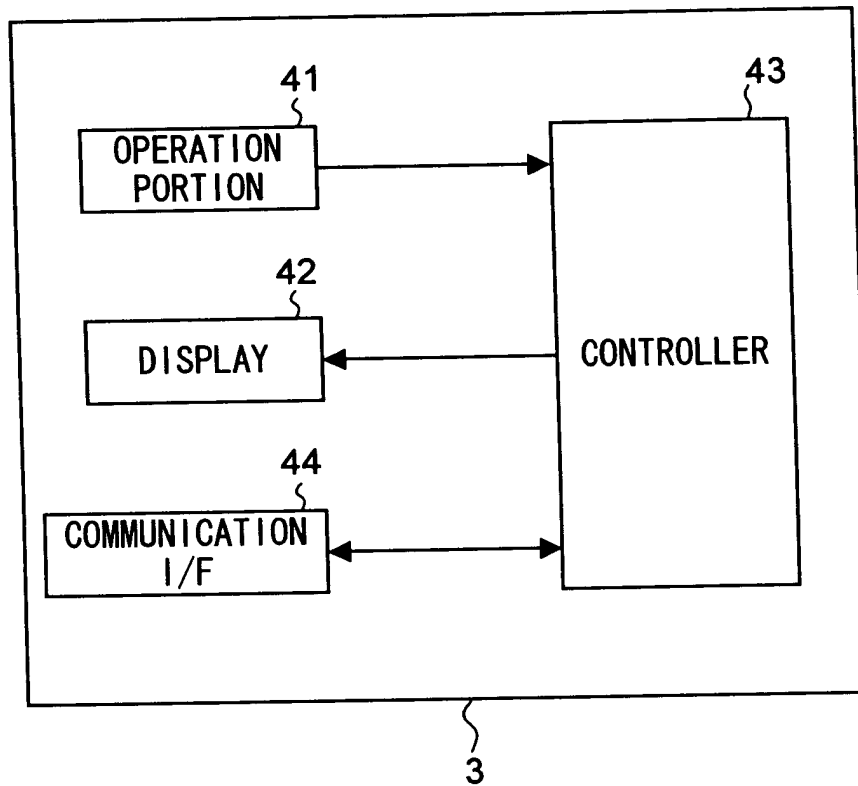


FIG.19A

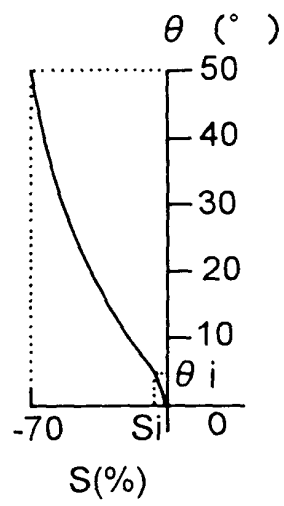


FIG.19B

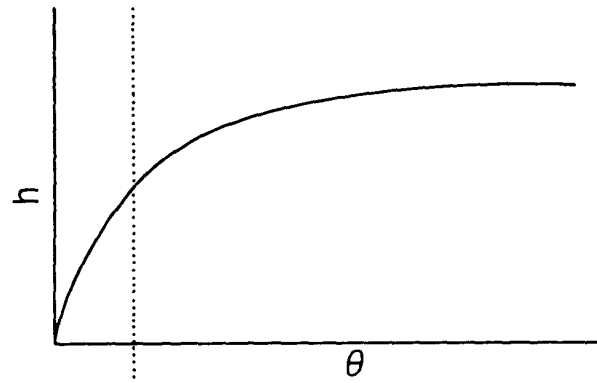


FIG.20A



FIG.20B

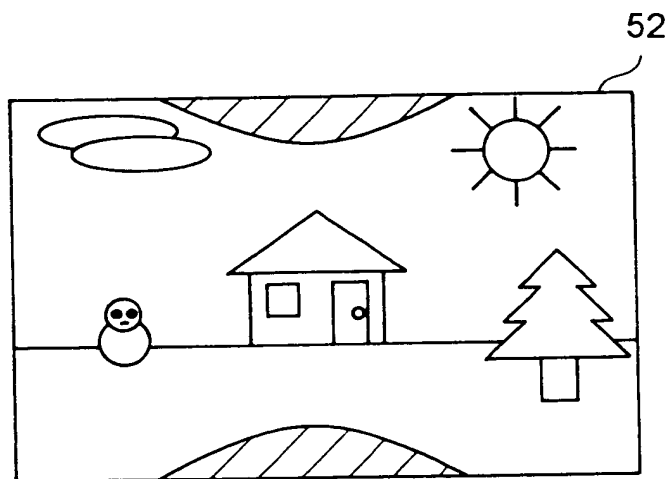


FIG.21

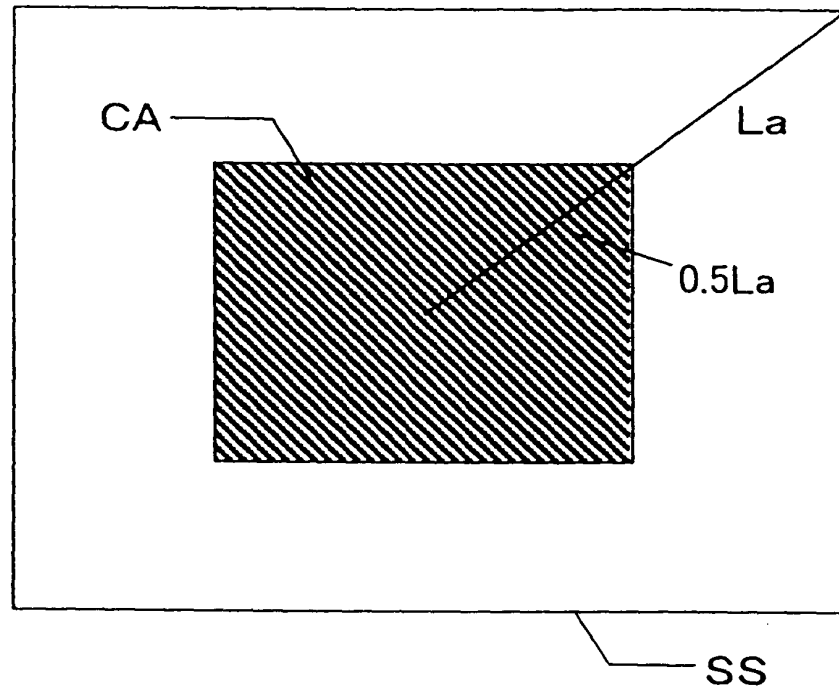


FIG.22

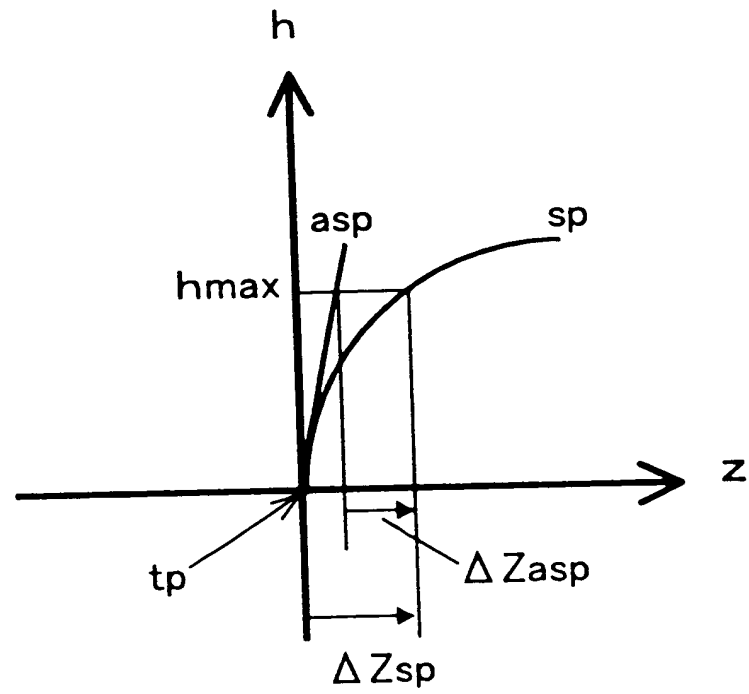


FIG.23

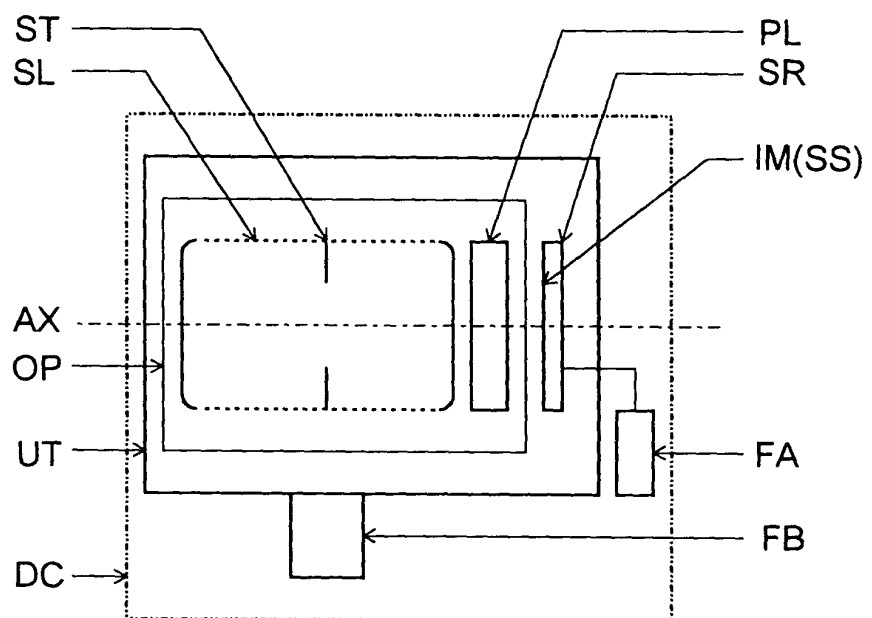


FIG.24

